

알칼리 리치움 몰리브덴산염과 알칼리 리치움 텅그스텐산염의 합성과 결정구조

정 수진
서울대학교 무기재료공학과
(1985년 5월 30일 접수)

Synthesis and Crystal Structures of Alkali Lithium Molybdates and Alkali Lithium Tungstates

Su-Jin Chung

Dept. of Inorganic Material Eng., Seoul National University

(Received 30 May, 1985)

ABSTRACT

Single crystals of the compounds $\text{Me}^1(\text{LiMoO}_4)$ and $\text{Me}^1(\text{LiWO}_4)$ ($\text{Me}^1 = \text{K}, \text{Rb}, \text{Cs}$) were synthesized by slow evaporation from aqueous solution and by cooling from melt. The compounds of potassium or rubidium are hygroscopic and they form easily hydrated crystals $\text{Me}^1\text{LiMoO}_4 \cdot \text{H}_2\text{O}$ or $\text{Me}^1\text{LiWO}_4 \cdot \text{H}_2\text{O}$ from aqueous solution. The structures of these hydrated crystals are each other isotopic and they are built up of distorted layers of (LiMoO_5) or (LiWO_5) .

There exist two types of tetrahedral framework structures in this group of anhydrous molybdates and tungstates; tridymite-type and cristobalite-type. KLiMoO_4 and KLiWO_4 have two types of polymorphic structures, whereas only the cristobalite-type is found in the Rb-and Cs-compounds.

The system $\text{KLiSO}_4-\text{KLiMoO}_4$ was studied. Two components are almost immiscible but there exist a narrow area of solid solution on the side of sulfate in the system.

I. 서 론

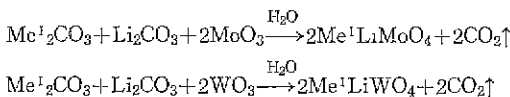
알칼리 몰리브덴산염과 알칼리 텅그스텐산염은 비교적 잘 알려져 있으나 리치움과 이온반경이 큰 다른 알칼리 이온을 함께 함유하는 몰리브덴산염과 텅그스텐산염에 대한 연구는 부분적으로만 보고되어 있다. 일반화학식 $\text{Me}^1[\text{BCX}_4]$ 에서 Me^1 가 K, Rb, Cs 등의 알칼리 이온이고 $[\text{BCX}_4]$ 가 사민체차이온의 망곡구조를 형성하는 규산염, 황산염, 인산염, 셀린산염, 크롬산염 등의 다른 화합물군에 대한 연구는 이미 발표하였고¹ 이와는 달리 몰리브덴산염과 텅그스텐산염은 상온에서 수화물을 형성하되 이로 인하여 합성 및 상변화의 규명이 다소 지연되었었으며 Höfei², Meyer³, Fuchs⁴

박명규⁵, 김철진⁶, 오세진⁷, 김호성⁸ 등에 의하여 많은 실험연구가 수행되었으나 아직까지 그 결과를 발표하지 않았으며 최근에 Klevtsova⁹ 등에 의하여 이들의 수화물에 대한 결정구조해석이 보고 되었다. 본논문에서는 $\text{Me}^1[\text{LiMoO}_4]$ 및 $\text{Me}^1[\text{LiWO}_4]$ 와 이들의 수화물인 $\text{Me}^1\text{LiMoO}_4 \cdot \text{H}_2\text{O}$ 및 $\text{Me}^1\text{LiWO}_4 \cdot \text{H}_2\text{O}$ 의 합성, 결정성장, 결정구조와 상변화등에 대한 지금까지의 실험결과를 종합검토하여 정리함으로써 망곡구조화합물에 대한 결정화학적 자료를 보완코자 한다.

II. 실 험

결정의 합성 및 성장실험에 있어서 수용액법과 용-용법을 사용하였으며 원료시약으로서는 서독 MERK 사

체 K_2CO_3 , Rb_2CO_3 , Cs_2CO_3 , Li_2CO_3 , MoO_3 , WO_3 와 일본 Junsei Chemical Co.의 특급시약 K_2CO_3 , Li_2CO_3 및 일본 Hayashi Pure Chemical Co.의 특급시약 MoO_3 , H_2WO_4 등을 사용하였으며 수용액법에 의한 합성에 있어서 반응식은 다음과 같다.



여기서 Me^1 은 K , Rb , Cs 을 나타내며 K 의 Rb 의 화합물은 수화물을 형성하며 Me^1LiMoO_4 나 Me^1LiWO_4 대신에 각각 $Me^1LiMoO_4 \cdot H_2O$ 또는 $Me^1LiWO_4 \cdot H_2O$ 의 결정을 형성한다. 결정을 빠른 시간내에 합성하기 위하여서는 약 $70^\circ C$ 에서 증발 시켰으며 크고 순수한 단결정을 성장시키기 위하여서는 $20^\circ C$ 에서 서서히 증발 시켰다. 이와같은 성장방법으로 성장시킨 $KLiMoO_4 \cdot H_2O$ 의 단결정을 Fig. 1에 제시하였다.

Cs 의 화합물은 수화물을 형성하지 않았으며 $CsLiMoO_4$ 의 단결정 성장실험에서 약 $0.5mm$ 크기 까지는 성장시킬 수 있었으나 그 이상은 성장하지 않았고 성장한 결정은 사면체의 경벽을 나타내며 주로 $\{111\}$ 면 만이 발달되어 있었다. 이를 결정은 대부분 속이 비어 있었다.

용융법에 의한 합성에 있어서는 원료시약을 화학양론에 맞게 혼합한후 $800^\circ C \sim 850^\circ C$ 에서 녹인후 즉시 공기중에 노출하여 굽냉하였으며 비교적 큰 단결정을 얻기 위하여 Rb 화합물은 용융점으로부터 $1^\circ C/hr$ 의 속도로 서냉하기도 하였다. 칼리움과 루비디움의 화합물은 흡습성이 강하여 공기중에서 즉시 수화물을 형성하며 이 수화물도 수용액에서 합성한 결정과 동일한 X-선 분말회절도를 나타내므로 같은 종류의 결정으로 생각된다. 이를 수화물의 함수량을 규명하기 위하여 수용액에서 성장시킨 결정을 분쇄하여 DTA 및 TGA 측정을 하였으며 두개 감량의 비를 계산한 결과 물 한분자에 해당하는 것으로 나타났으며 감량계산을 위한 TGA 측정은 한화합물에 대하여 5개 이상의 시료를 측정하였다.

또한 $KLiMoO_4 \cdot H_2O$ 는 비중측정에서도 함수량을 확인할수 있었으며 피크노메타법으로 측정한 비중은 $2.854 gr/cm^3$ 으로서 격자상수로부터 계산된 값인 $2.840 gr/cm^3$ 과 거의 일치 되었다.

이상의 수화물과 무수물의 결정을 X-선 분말회절도와 X-선 단결정사진촬영에 의하여 격자상수와 공간군을 산출하였고 문헌에 보고된 자료와 비교하여 Table 1에 제시하였다.

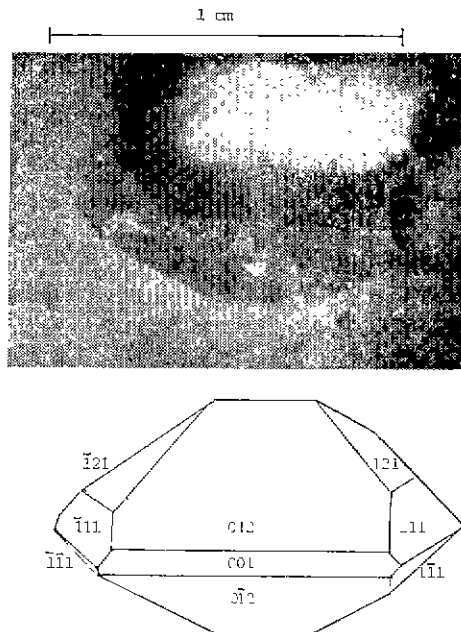


Fig. 1. Single crystal of $KLiMoO_4 \cdot H_2O$ grown from aqueous solution³.

상변화를 측정하기 위하여 Du Pont 사제 900 Thermal Analyzer 및 일본 Chyo Balance Cooperation 제 TRDA₃-H를 사용하였으며 서로에 마라서는 고온 X-선 Guinier 카메라에 의하여 고온상의 결정구조를 확인하였다.

Table 1.에서 $KLiMoO_4$ 와 $KLiWO_4$ 의 결정자로는, 수화물의 DTA 측정결과에 따라 $KLiMoO_4 \cdot H_2O$ 는 $180^\circ C$ 에서 탈수피크가 나타났고 $KLiWO_4 \cdot H_2O$ 는 $140^\circ C$ 에서 탈수피크를 나타냈으므로 이들을 유리세관속에 넣고 $300^\circ C$ 에서 가열하면서 유리관을 봉입한 후에 상온에서 X-선분말회절사진을 촬영하여 격자상수를 산출하였으며 또한 X-선 분말회절사진에서 나타난 강도의 분포가 $KLiSO_4$ 의 X-선 분말회절강도의 분포와 유사하여 이와 동형구조일 것으로 생각되며 같은 공간군을 가질 것으로 추정할 수 있다.

$RbLiMoO_4$ 와 $RbLiWO_4$ 의 격자상수와 공간군은 melt 토 부터 서냉시킨 시료에서 약 $0.2mm$ 정도의 단결정면을 분리하여 즉시 유리관속에 봉입한 후에 촬영한 X-선 Weissenberg 사진 및 Precession 사진에 의하여 산출한 것이다.

$CsLiMoO_4$ 와 $CsLiWO_4$ 의 격자상수는 수용액법과 용융법으로 합성한 결정들이 서로 동일한 값을 가지며 이는 공간군과 함께 이미 발표한 바 있으며³ $CsLiMoO_4$ 의 결정구조정산과 $KLiMoO_4 \cdot RbLiMoO_4 \cdot CsLiMoO_4$ 의

Table 1. Crystallographic Data of Alkali-molybdates and Alkali-tungstates.

Compounds	Lattice parameters (Å)			Space group	Structure type	Reference
	a	b	c			
KLiMoO ₄ ·H ₂ O	7, 75	10, 63	12, 85	Pcab	Sheet	Klevtsova ⁹⁾
	7, 72	10, 59	12, 79	Pcab	Sheet	Present work
KLiWO ₄ ·H ₂ O	7, 765	10, 66	12, 87	Pcab	Sheet	Klevtsova ⁹⁾
	7, 77	10, 66	12, 80	Pcab	Sheet	Present work
RbLiMoO ₄ ·H ₂ O	7, 870	10, 725	13, 015	Pcab	Sheet	Klevtsova ⁹⁾
RbLiWO ₄ ·H ₂ O	7, 89	10, 73	13, 05	Pcab	Sheet	Klevtsova ⁹⁾
NH ₄ LiMoO ₄ ·H ₂ O	7, 8	11, 2	12, 6	Pcab	Sheet	Fuchs ⁴⁾
KLiMoO ₄	5, 24	—	8, 93	P6 ₃	Tridymite	Present work
KLiWO ₄	5, 40	—	8, 96	P6 ₃	Tridymite	Present work
RbLiMoO ₄	5, 66	5, 77	8, 04	Imm2	Cristobalite	Present work
RbLiWO ₄	5, 67	5, 78	8, 04	Imm2	Cristobalite	Present work
CsLiMoO ₄	8, 335	—	—	F43m	Cristobalite	Höfer ²⁾
CsLiWO ₄	8, 342	—	—	F43m	Cristobalite	Höfer ²⁾

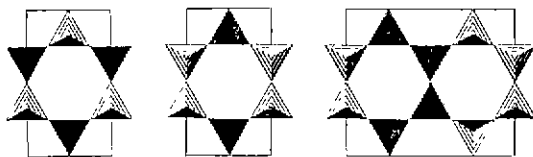
상태도에 관한 연구는 문은 차후에 발표한 예정이다.

III. 결과 및 고찰

1. 결정구조

KLiMoO₄·H₂O 와 KLiWO₄·H₂O 의 X-선 분말회절도 및 X-선 단결정 사진상의 회칠강도의 분포에 따라서 이 두 결정이 동형구조를 갖는 것으로 추측할 수 있었으며 Klevtsova⁹⁾에 의하여 RbLiMoO₄·H₂O의 구조 정산이 보고 되었고 그는 또한 칼리움화합물과 투비디움화합물이 다른 구조를 가질 것으로 보고하였다. 이보다 앞서 KLiMoO₄·H₂O의 단결정 X-선회절반점들의 강도를 필립법과 자동단결정회절장치에 의하여 개략적으로 측정한 후에 Patterson method에 의하여 개략적인 결정구조를 해석한 바 있으나⁸⁾ 여기에서 K, Mo, O의 위치는 Klevtsova⁹⁾에 의하여 발표된 RbLiMoO₄·H₂O에 있어서의 Rb, Mo, O의 위치와 거의 일치하였으며 이로서 KLiMoO₄·H₂O 와 RbLiMoO₄·H₂O의 구조는 서로 같다는 것을 확인할 수 있었다.

이들 수화물의 구조는 [LiMoO₅] 및 [LiWO₅]가 사면체 차이온의 육환망으로 되어 있는 층상구조를 형성하며 이들층과 층사이에는 K 또는 Rb 이온과 수소가 들어 있어서 이온결합과 수소결합의 이중으로 층과 층을 결속하고 있는 구조로서 KH[LiMoO₅]와 같이 화학식을 표기 할 수도 있다. Fig. 2. c.에 [LiMoO₅] 또는 [LiWO₅]의 육환구조를 이상적인 형태로 나타내었으며 Fig. 2a. b.에 β -Na₂Si₂O₅와 BaSi₂O₅의 규산염 육환층을 비교제시하였다. 이를 층상구조들간의 차이는 육환내에서 사면체의 정점이 향하고 있는 방향에 따라



a. β -Na₂Si₂O₅ b. BaSi₂O₅ c. KLiMoO₄·H₂O.

Fig. 2. Idealized structures of tetrahedral layers.

구별되며 [LiMoO₅]와 같은 구조는 층상구조 규산염에서는 아직까지 예를 찾지 못하였으며 당목구조 규산염에서는 paracelsian의 육환층에서와 같은 배열을 하고 있다.

KLiMoO₄와 KLiWO₄의 구조는 상온에서 KLiSO₄의 구조와 동일한 것인므로 tridymite의 유도구조로서 규정할 수 있고 RbLiMoO₄와 RbLiWO₄는 격자상수와 공간군에 미루어 cristobalite 형태의 구조를 갖는 것이 확실하다. Table 1.에서 주어진 RbLiMoO₄와 RbLiWO₄의 격자상수 a와 b는 CsLiMoO₄의 격자상수의 약 $1/\sqrt{2}$ 배이고 이로써 일방정 F격자에서 정방정의 I 격자를 취할 경우의 두 격자의 격자상수의 비와 일치하며 또한 공간군의 상하군관계에 있어서도 RbLiMoO₄의 공간군인 Imm2는 CsLiMoO₄의 공간군인 F43m의 하군으로서 F43m의 최상하군(maximal subgroup) 중의 하나인 I4m2는 Imm2의 최소상군(minimal supergroup)이다.

2. 상변화

위에서 기술한 바와 같이 KLiMoO₄·H₂O는 층상구조를 가지며 180°C에서 탈수되어 377°C까지 육방정

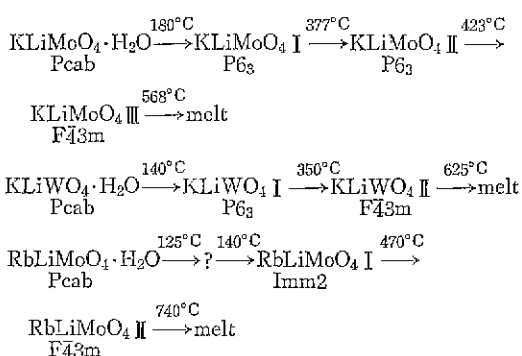
의 KLiMoO_4I 로 되며 이는 공간군 $P6_3$ 를 가질 것이고 377°C 에서 상변화를 하여 423°C 까지 다시 육방정의 KLiMoO_4II 를 형성한다. 이 KLiMoO_4II 는 고온 X -선회절도에서 KLiMoO_4I 과 비슷한 회절피크들을 가지며 구조도 동일한 것으로 추정된다. 423°C 이상에서는 용융점까지 CsLiMoO_4 와 같은 구조를 가지며 이는 고온 X -선회절도와 함께 $\text{KLiMoO}_4\text{-CsLiMoO}_4$ 의 미발표 실현결과³⁾로 시도 추정할 수 있었다.

KL₂WO₄·H₂O는 DTA, TGA 측정에서 140°C에서
탈수피크를 나타내며 350°C까지 KL₂SO₄와 같은 구조
를 갖는 KLWO₄I로 되었다가 350°C에서 상변화를
하여 용융점인 625°C까지 cristobalite 형의 구조를 가
질 것으로 사료된다.

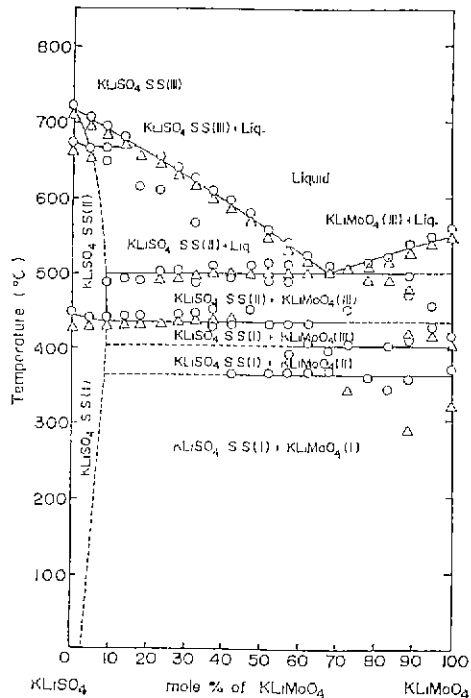
RbLiMoO₄·H₂O는 125°C 와 140°C 에서 두차례에 걸친 틸수페크를 나타내며 cristobalite 형의 구조를 갖는 RbLiMoO₄ I로 되었다가 470°C 에서 삼면화를 하여 용융점인 740°C 까지 CsLiMoO₄와 동상으로 생각되는 RbLiMoO₄ II로 존재한다. RbLiMoO₄ II의 공간군은 F43m 일 것으로 추정된다.

CsLiMoO_4 와 CsLiWO_4 는 상온으로 부터 용융점인 760°C 와 820°C 까지 각각 상변화를 나타내는 피크는 보이지 않았으며 사실상 이 온도 범위에서 단일상으로 존재한다. CsLiWO_4 는 -97°C 와 -61°C 에서 상변화 피크가 발견되었으나²⁾ 쳐온상에 대하여는 좀더 많은 연구가 필요하다.

이상의 상수화를 종합하면 다음과 같다



이상의 상변화현상에 미루어 K, Rb와 Cs 간의 치환에 의한 고용관계는 sulfates, selenates, chromates 등에 있어서의 알칼리이온의 고용관계와 같이 비교적 광범위한 고용상을 가질 것이며 이들중 이온반경의 차이가 가장 큰 K와 Cs 간의 상호치환은 $KLiMoO_4$ - $CsLiMoO_4$ 계에서 고온부위에서 단일상의 고용상을 이루는 것으로 나타났으므로²³⁾ 이들 $KLiMoO_4$ - $RbLiMoO_4$ - $CsLiMoO_4$ 계와 이와동일한 tungstates 계에서는 거의



KL_xSO₄ I : Tridymite-type structure (P6₃)
 KL_xSO₄ II : Icmm-type structure (Pc2₁n)
 KL_xSO₄ III : hexagonal structure (P6₃mc)
 ○ DTA Signal by heating
 △ DTA Signal by cooling

Fig. 3. The system of $\text{KLiSO}_4\text{-}\text{KLiMoO}_4$.

전역에 걸쳐 cristobalite 형 구조를 갖는 상으로 되어 있을 것이며 단지 칼리움이 풍부한 상은 부근에 비교적 좁은 영역에 국한되어 tridymite 형의 구조를 갖는 상이 위축되어 있을 것으로 생각된다.

사면체 쳐이온간의 고용환계를 알아보기 위하여 $\text{KLiSO}_4\text{-}\text{KLiMoO}_4$ 계에서의 고용환계를 DTA 측정에 의하여 조사연구한 바 있으며¹⁰ 그 결과를 Fig. 3.에 제시하였다.

Fig. 3.에서 나타난 바와같이 KLiMoO_4 의 쪽에서는 SO_4^{2-} 의 치환을 전혀 허용치 않으며 KLiSO_4 쪽에서는 약 3%의 MoO_4^{2-} 를 받아 들이는 것으로 보이며 X-선회절도상에서 산출한 $\text{KLi}(\text{S}_{0.97}\text{M}_{0.03})\text{O}_4$ 의 격자상수는 $a = 5.16\text{\AA}$ $c = 8.64\text{\AA}$ 으로서 KLiSO_4 의 격자상수 보다 뚜렷이 증가하였다.

전체적으로 보아서 $KLiSO_4$ - $KLiMoO_4$ 계는 고용상을 거의 갖지 않는 것으로 생각될 수 있다.

정 수진

IV. 결 론

비교적 이온반경이 큰 알칼리이온을 함유하는 알칼리 리치유 몰리브덴산염과 알칼리 리치음 텅그스텐산염의 결정상은 tridymite 형의 구조와 cristobalite 형의 구조를 가지며 특히 KLiMoO_4 와 KLiWO_4 는 이들 두형태의 구조를 동질다상으로 갖고 있어 SiO_2 의 구조 및 상변화와 동일한 것으로 나타났고 sulfates, selenates, chromates 등과는 달리 이들에께서 나타나는 Icmm-구조를 갖는 상은 존재하지 않으나 cristobalite 형의 구조가 SiO_2 에서 뿐만이 아니고 tridymite 형의 구조의 고온상임이 확인 되었다.

또한 Cs을 제외한 K와 Rb의 화합물에서는 상온에서 흡습하여 수화물을 형성하되 물 한분자를 갖는 이들 수화물의 구조는 paracelsian의 육환구조와 같은 사면체의 배열을 갖는 육환구조의 층으로 되어있고 이들 두개의 층사이에는 K 또는 Rb에 의한 이온결합과 수소결합으로 연결되어 있다.

참 고 문 헌

- 1) 정수진 : “규산염방목구조 : 결정체조 및 특성”, 요업학회지 15(2) 59-65(1978)
- 2) H. H. Höfer ; “Tetraedergerüste bei Chromaten,

Molybdate und Wolframaten”, Diplomarbeit, RWTH Aachen (1975).

- 3) Ch. Meyer: “Kristallchemische Untersuchungen im System $\text{KLiMoO}_4\text{-RbLiMoO}_4$ ”, Studienarbeit, RWTH Aachen (1976).
- 4) E. Fuchs: 미발표 실험결과
- 5) 박명규 : “ KLiMoO_4 의 구조 및 동질다상”, 서울대학교 석사학위논문(1981).
- 6) 김철진 : “Kalium Lithium Sulfate-Kalium Lithium Molybdate 계의 혼정한계에 관한 연구”, 서울대학교 석사학위논문(1981).
- 7) 오세진 : “Alkali-Lithium-Tungstate의 합성 및 구조”, 미발표 실험결과
- 8) 김호성 : “ $\text{KLiMoO}_4\cdot\text{H}_2\text{O}$ 의 결정구조해석”, 서울대학교 석사학위논문(1984).
- 9) R. F. Klevtsova, L. P. Solovera, V. N. Ischenko, A. P. Perepelitsa and P. V. Klevtsov ; “Synthesis of monohydrates of double molybdates and tungstates of lithium with rubidium and potassium $\text{M}^+\text{LiEO}_4\cdot\text{H}_2\text{O}$ and crystal structure of $\text{RbLiMoO}_4\cdot\text{H}_2\text{O}$ ”, Sov. Phys. Crystallogr. 29, 137-140 (1984).